

УДК 519.6:531.133

## ЭФФЕКТИВНАЯ РАЗМЕРНОСТЬ ФАЗОВОЙ ТРАЕКТОРИИ В ЗАДАЧЕ ВИЗУАЛИЗАЦИИ ЭВОЛЮЦИИ ДИНАМИЧЕСКОЙ СИСТЕМЫ<sup>1)</sup>

© 2002 г. Е. Д. Белега\*, А. А. Рыбаков\*, Д. Н. Трубников\*, А.И. Чуличков\*\*

(\*119899 Москва, Ленинские горы, МГУ, хим. фак-т; \*\*физ. фак-т)  
e-mail: elena@phys.chem.msu.ru

Поступила в редакцию 10.04.02 г.

Предлагается метод описания поведения динамической системы на основе понятия главных мод и эффективной размерности фазовой траектории, а также наглядный способ представления траектории путем отображения ее эффективной конечномерной составляющей. Метод применен для исследования внутренней динамики трехатомных кластеров. Библ. 12. Фиг. 3.

### ВВЕДЕНИЕ

Одной из проблем нелинейной динамики является наглядное описание движения системы. Если фазовое пространство имеет большую размерность, эффективно визуализировать траекторию движения системы достаточно сложно.

Для решения этой задачи в данной работе предлагается использовать разложение движения системы в  $n$ -мерном фазовом пространстве на ортогональные составляющие (моды движения), обладающие экстремальными свойствами: суперпозиция из  $m$  мод наиболее точно аппроксимирует заданные особенности эволюции системы среди всех  $m$ -мерных составляющих фазовой траектории,  $m = 1, 2, \dots, n$ . Анализ динамики мод позволяет представить эволюцию системы в целом.

Для многих встречающихся на практике динамических систем их фазовая траектория в многомерном фазовом пространстве располагается в пространстве меньшего числа координат. Например, движение частицы в центральном поле происходит в плоскости, содержащей вектор импульса и радиус-вектор частицы, для его точного описания достаточно четырехмерного подпространства, а для визуализации можно использовать две пространственные координаты, изменяющиеся со временем. Малое возмущение гамильтониана приведет к увеличению размерности подпространства, содержащего фазовую траекторию, однако в ряде случаев эволюцию системы приближенно можно представить как движение в некоторой плоскости. Отдельное рассмотрение составляющей фазовой траектории в ортогональном к этой плоскости направлении даст представление об отличии эволюции системы от движения в центральном поле. Плоскость, в которой, “в основном”, сосредоточены состояния системы, можно определить как плоскость, проекция пространственных координат на которую в среднем по времени имеет наибольший квадрат длины.

**Об эффективной размерности и модах движения.** Поясним предлагаемый подход на примере движения материальной точки в шестимерном фазовом пространстве. Обозначим через  $\mathcal{E}_n$   $n$ -координатное векторное евклидово пространство, его элементами являются упорядоченные наборы из  $n$  чисел – координат соответствующего вектора. В любой фиксированный момент времени  $t \in [0, T)$  вектор фазовых координат обозначим  $\mathbf{q}(t) = [\mathbf{x}(t), \mathbf{p}(t)] \in \mathcal{E}_6$ , где  $\mathbf{x}(t) \in \mathcal{E}_3$  – вектор пространственных переменных,  $\mathbf{p}(t) \in \mathcal{E}_3$  – вектор импульса. Для любого вектора  $\mathbf{e} \in \mathcal{E}_3$ ,  $\|\mathbf{e}\| = 1$ , вектор  $\mathbf{x}(t) - (\mathbf{x}(t), \mathbf{e}) \mathbf{e}$  есть ортогональная проекция вектора  $\mathbf{x}(t)$  на плоскость с нормалью  $\mathbf{e}$  в трехмерном евклидовом пространстве  $\mathcal{E}_3$ ; здесь и далее  $(\cdot, \cdot)$  обозначает скалярное произведение элементов евклидова пространства. Задача выбора двумерной плоскости, в которой в основном

<sup>1)</sup>Работа выполнена А.И. Чуличковым при частичной финансовой поддержке РФФИ (код проекта 01-01-00210).

сосредоточены перемещения материальной точки, таким образом, сводится к выбору вектора  $\mathbf{e}_0 \in \mathcal{E}_3$ , доставляющего максимум квадратичному функционалу

$$\frac{1}{T} \int_0^T \|\mathbf{x}(t) - (\mathbf{x}(t), \mathbf{e})\mathbf{e}\|^2 dt, \quad (1)$$

или, что то же самое, минимум функционалу

$$\frac{1}{T} \int_0^T (\mathbf{x}(t), \mathbf{e})^2 dt. \quad (2)$$

Величина

$$H_x = \frac{1}{T} \int_0^T (\mathbf{x}(t), \mathbf{e}_0)^2 dt$$

дает погрешность приближения пространственного движения частицы движением в плоскости с нормалью  $\mathbf{e}_0$ .

Другой подход состоит в том, чтобы выделить плоскость, проекция на которую вектора импульса частицы дает самую большую (в среднем по времени) кинетическую энергию. В этом случае требуется выбрать вектор  $\mathbf{h}_0 \in \mathcal{E}_3$ , доставляющий максимум квадратичному функционалу

$$\frac{1}{2T} \int_0^T \|\mathbf{p}(t) - (\mathbf{p}(t), \mathbf{h})\mathbf{h}\|^2 dt, \quad (3)$$

или минимум функционалу

$$\frac{1}{2T} \int_0^T (\mathbf{p}(t), \mathbf{h})^2 dt, \quad (4)$$

характеризующему погрешность аппроксимации. Величина

$$H_p = \frac{1}{2T} \int_0^T (\mathbf{p}(t), \mathbf{h}_0)^2 dt$$

дает погрешность приближения динамики точки движением в плоскости с точностью, контролируемой в терминах кинетической энергии.

Если  $\mathbf{e}_0 \in \mathcal{E}_3$  и  $\mathbf{h}_0 \in \mathcal{E}_3$  – векторы, на которых достигается максимум функционалов (1) и (3) соответственно, то можно утверждать, что пространственная конфигурация движения точки с точностью  $H_x$  лежит в плоскости с вектором нормали  $\mathbf{e}_0$ , а в плоскости с нормалью  $\mathbf{h}_0 \in \mathcal{E}_3$  лежат импульсы, несущие кинетическую энергию системы, отличающейся от полной кинетической энергии системы на величину  $H_p$ .

Для реализации этой идеи в общем случае многомерного фазового пространства  $\mathcal{R}$  размерности  $n$  построена последовательность вложенных подпространств, обладающих следующим свойством. При заданной размерности  $m$  подпространства  $\mathcal{R}_m \subset \mathcal{R}$  проекция фазового вектора на  $\mathcal{R}_m$  минимизирует заданный функционал на множестве всех подпространств заданной размерности.

Если  $\mathcal{R}_m$  – подпространство  $\mathcal{R}$ , обладающее указанным свойством, то проекция вектора  $\mathbf{q}(t) \in \mathcal{R}$  на  $\mathcal{R}_m$  дает приближение движения системы в пространстве меньшей размерности с погрешностью, равной величине минимизируемого функционала.

Зависимость  $m(H)$  размерности пространства  $\mathcal{R}_m$  от точности приближения  $H$  по аналогии с [1]–[5] назовем *эффективной размерностью* фазовой траектории. Проекции вектора  $\mathbf{q}(t)$  на векторы базиса подпространства  $\mathcal{R}_m$  назовем *модами движения*.

## 1. ПОСТАНОВКА ЗАДАЧИ

Рассмотрим динамическую систему, состояние которой в момент времени  $t \in [0, T]$  задается вектором  $q(t) \in \mathcal{R}$ ; эволюция системы описывается фазовой траекторией  $q(t)$ ,  $t \in [0, T]$ . Предметом исследования является не сама фазовая траектория, а линейная функция от нее, задаваемая в каждый момент времени  $t \in [0, T]$  вектором  $Qq(t) \in \mathcal{R}$ ; здесь  $Q \in (\mathcal{R} \rightarrow \mathcal{R})$  – линейный оператор, действующий из евклидова пространства  $\mathcal{R}$  в  $\mathcal{R}$  (в частности, в примере с механической системой оператор  $Q$  может “вырезать” из полного набора фазовых переменных только импульсы или только координаты). Будем рассматривать только такие фазовые траектории  $q(t)$ ,  $t \in [0, T]$ , для которых выполняется неравенство

$$\int_0^T \|Qq(t)\|^2 dt < \infty, \quad (5)$$

множество всех фазовых траекторий, для которых выполнено (5), обозначим через  $\mathcal{L}_2(Q, T)$ .

Пусть  $\Pi_m \in (\mathcal{R} \rightarrow \mathcal{R})$  – оператор ортогонального проецирования в  $\mathcal{R}$  на  $m$ -мерное подпространство  $\mathcal{R}_m \subset \mathcal{R}$ . Проекцию  $\Pi_m Qq$  назовем  $m$ -мерной аппроксимацией вектора  $Qq$ . Погрешность  $m$ -мерной аппроксимации фазового вектора  $Qq \in \mathcal{R}$  определяется вектором  $Qq - \Pi_m Qq = (I - \Pi_m)Qq \in \mathcal{R}$ , величину этой погрешности оценим значением  $\|(I - \Pi_m)Qq\|^2$ .

Задача состоит в том, чтобы выбрать такое  $m$ -мерное подпространство  $\mathcal{R}_m$  в  $\mathcal{R}$ , проекция вектора  $Qq$  на которое в среднем по всем  $t \in [0, T]$  дает наименьшую погрешность аппроксимации

$$\Phi(q(\cdot)) = \frac{1}{T} \int_0^T \|(I - \Pi_m)Qq(t)\|^2 dt \quad (6)$$

среди всех подпространств размерности не больше  $m$ .

Задачу минимизации функционала (6) назовем задачей наилучшей  $m$ -мерной аппроксимации. Ее решение – проекция  $\Pi_m Qq(t)$  – дает самое точное описание характеристики движения системы  $Qq$  с помощью  $m$  координат, минимизирующее погрешность (6).

2. РЕШЕНИЕ ЗАДАЧИ НАИЛУЧШЕЙ  $m$ -МЕРНОЙ АППРОКСИМАЦИИ

Укажем линейное подпространство  $\mathcal{R}_m \subset \mathcal{R}$ , на котором достигается минимум функционала (6), и определим значение этого минимума. Так как вектор  $Qq(t)$ ,  $t \in [0, T]$ , задан, то минимизация (6) эквивалентна максимизации функционала

$$\Psi(q(\cdot)) = \frac{1}{T} \int_0^T \|\Pi_m Qq(t)\|^2 dt. \quad (7)$$

Пусть  $e'_1, \dots, e'_n$  – ортонормированный базис  $\mathcal{R}$  и оператор  $\Pi_m$  является ортогональным проектором на первые  $m$  векторов этого базиса. Тогда

$$Qq(t) = \sum_{k=1}^n (Qq(t), e'_k) e'_k, \quad \Pi_m Qq(t) = \sum_{k=1}^m (Qq(t), e'_k) e'_k, \quad t \in [0, T].$$

Задача максимизации функционала (7) состоит в выборе такого ортонормированного базиса  $\{e_1, \dots, e_n\} \subset \mathcal{R}$ , на котором достигается точная верхняя грань:

$$\frac{1}{T} \int_0^T \sum_{k=1}^m (e_k, Qq(t))^2 dt = \sup \left\{ \frac{1}{T} \int_0^T \sum_{k=1}^m (e_k, Qq(t))^2 dt \mid e_k \in \mathcal{R}, (e_k, e_j) = \delta_{kj}, k = \overline{1, m}, j = \overline{1, m} \right\}; \quad (8)$$

здесь использовано обозначение  $\delta_{kk} = 1$ ,  $\delta_{kj} = 0$ ,  $k \neq j$ ,  $k, j = \overline{1, n}$ .

Так как

$$\frac{1}{T} \int_0^T \sum_{k=1}^m (\mathbf{e}_k, Q\mathbf{q}(t))^2 dt = \sum_{k=1}^m \left( \left( \frac{1}{T} \int_0^T Q\mathbf{q}(t)\mathbf{q}^*(t)Q^* dt \right) \mathbf{e}_k, \mathbf{e}_k \right) \equiv \sum_{k=1}^m (S_Q \mathbf{e}_k, \mathbf{e}_k),$$

то задача поиска наилучшей  $m$ -мерной аппроксимации  $Q\mathbf{q}(\cdot) \in \mathcal{L}_2(Q, T)$  запишется в виде

$$\sup \left\{ \sum_{k=1}^m (S_Q \mathbf{e}_k, \mathbf{e}_k), \mathbf{e}_k \in \mathcal{R} \mid (\mathbf{e}_k, \mathbf{e}_j) = \delta_{kj}, k = \overline{1, m}, j = \overline{1, m} \right\}; \tag{9}$$

здесь

$$S_Q = \frac{1}{T} \int_0^T Q\mathbf{q}(t)\mathbf{q}^*(t)Q^* dt$$

и использовано обозначение  $Q^*$  для оператора, сопряженного с  $Q$ , и обозначение  $\mathbf{z}\mathbf{q}^* \in (\mathcal{R} \rightarrow \mathcal{R})$  для внешнего (тензорного) произведения векторов  $\mathbf{z}, \mathbf{q} \in \mathcal{R}$ .

В силу определения и условия (5), оператор  $S_Q$  является линейным, ограниченным, самосопряженным и неотрицательно-определенным, а значит, в силу принципа максимума [6], решение задачи (9) достигается на его собственных векторах, отвечающих наибольшему собственным значениям.

Выпишем погрешность наилучшей аппроксимации  $Q\mathbf{q}(t)$  его проекцией  $\Pi_m Q\mathbf{q}(t), t \in [0, T]$ . Пусть  $\mathbf{e}_1, \dots, \mathbf{e}_n$  – ортонормированный базис, составленный из собственных векторов оператора  $S_Q \in (\mathcal{R} \rightarrow \mathcal{R})$ , упорядоченный по невозрастанию собственных значений:

$$S_Q \mathbf{e}_k = \lambda_k^2 \mathbf{e}_k, \quad \lambda_1^2 \geq \dots \geq \lambda_n^2.$$

Тогда, согласно (6), погрешность наилучшей аппроксимации равна

$$\gamma_Q(m) = \sum_{k=m+1}^n (S_Q \mathbf{e}_k, \mathbf{e}_k) = \sum_{k=m+1}^n \lambda_k^2 \tag{10}$$

и представляет собой средний квадрат расстояния вектора  $Q\mathbf{q}(t)$  до линейной оболочки, натянутой на векторы  $\mathbf{e}_1, \dots, \mathbf{e}_m$ .

### 3. ОСНОВНЫЕ ОПРЕДЕЛЕНИЯ

Дадим формальные определения понятий моды движения и эффективной размерности фазовой траектории в задаче аппроксимации вектора  $Q\mathbf{q}(t), t \in [0, T]$ .

**Определение 1.** *Эффективной размерностью* фазовой траектории  $\mathbf{q}(t)$  в задаче аппроксимации вектора  $Q\mathbf{q}(t), t \in [0, T]$ , назовем функцию

$$\zeta_Q = \zeta_Q(\varepsilon) = \min \{ k \mid 0 \leq k \leq n, \gamma_Q(k) \leq \varepsilon \},$$

определенную для  $\varepsilon \in [0, \infty)$  и принимающую целочисленные значения.

Значение  $\zeta_Q(\varepsilon)$  равно наименьшему числу векторов базиса, разложение вектора  $Q\mathbf{q}(t)$  по которым дает среднюю по времени погрешность, не большую, чем  $\varepsilon$ .

Рассмотрим теперь вектор

$$\sum_{k=1}^m (Q\mathbf{q}(t), \mathbf{e}_k) \mathbf{e}_k,$$

аппроксимирующий вектор  $Q\mathbf{q}(t)$ . Он представляет собой линейную комбинацию “главных направлений”  $\mathbf{e}_1, \dots, \mathbf{e}_m$  в фазовом пространстве  $\mathcal{R}$  с коэффициентами, задающими динамику изменения этих главных составляющих вектора  $Q\mathbf{q}(t)$ .

**Определение 2.** Вектор  $(Q\mathbf{q}(t), \mathbf{e}_k) \mathbf{e}_k \in \mathcal{R}, k = \overline{1, n}$ , назовем  $k$ -й модой при аппроксимации вектора  $Q\mathbf{q}(t)$ .

Поведение во времени моды  $(Q\mathbf{q}(t), \mathbf{e}_k)\mathbf{e}_k \in \mathcal{R}$ , аппроксимирующей поведение вектора  $Q\mathbf{q}(t)$  на отрезке  $[0, T)$ , в среднем составляет часть вектора  $Q\mathbf{q}(t)$ , характеризующуюся величиной

$$\eta_Q(k) = \frac{1}{T} \int_0^T (Q\mathbf{q}(t), \mathbf{e}_k)^2 dt \frac{1}{T} \int_0^T \|Q\mathbf{q}(t)\|^2 dt^{-1},$$

вычисляющейся через собственные значения оператора  $S_Q$ :

$$\eta_Q(k) = \lambda_k^2 \left( \sum_{j=1}^n \lambda_j^2 \right)^{-1}.$$

Как следует из изложенного выше, чем больше  $\eta_Q(k)$ , тем больше вклад  $k$ -й моды в аппроксимацию вектора  $Q\mathbf{q}(t)$  на интервале  $[0, T)$ .

#### 4. ДИНАМИЧЕСКИЕ СИСТЕМЫ С ДИСКРЕТНЫМ ВРЕМЕНЕМ

Рассмотрим ситуацию, когда динамическая система рассматривается в дискретные моменты времени  $t_1, \dots, t_N \in [0, T)$ ,  $N \geq n$ . В этом случае фазовая траектория задается в виде матрицы  $\hat{q}_{ij} = g_i(t_j)$ ,  $i = \overline{1, n}$ ,  $j = \overline{1, N}$ , размера  $n \times N$ , которую будем называть траекторной матрицей динамической системы и обозначать через  $\hat{q} \in (\mathcal{R}_N \rightarrow \mathcal{R})$ . Если нас интересует поведение от времени вектора  $Q\mathbf{q}(t_j)$ ,  $j = \overline{1, N}$ , то эта информация содержится в матрице  $Q\hat{q} \in (\mathcal{R}_N \rightarrow \mathcal{R})$ .

Согласно теореме о сингулярном разложении, любая матрица вида  $Q\hat{q} \in (\mathcal{R}_N \rightarrow \mathcal{R})$  может быть записана в виде

$$\{Q\hat{q}\}_{ij} = \sum_{k=1}^n \lambda_k \{\mathbf{e}_k\}_i \{\mathbf{g}_k\}_j, \quad i = \overline{1, n}, \quad j = \overline{1, N},$$

где числа  $\lambda_1, \dots, \lambda_n$  и ортонормированные наборы векторов  $\mathbf{e}_k \in \mathcal{R}$ ,  $k = \overline{1, n}$ , и  $\mathbf{g}_k \in \mathcal{R}_N$ ,  $k = \overline{1, N}$ , представляют собой решения задач на собственные значения

$$Q\hat{q}\hat{q}^*Q^*\mathbf{e}_k = \lambda_k^2\mathbf{e}_k, \quad \hat{q}^*Q^*Q\hat{q}\mathbf{g}_k = \lambda_k^2\mathbf{g}_k,$$

связанные между собой соотношениями

$$Q\hat{q}\mathbf{g}_k = \lambda_k\mathbf{e}_k, \quad \hat{q}^*Q^*\mathbf{e}_k = \lambda_k\mathbf{g}_k.$$

При этом будем полагать, что  $\lambda_1 \geq \dots \geq \lambda_n \geq 0$ . Числа  $\lambda_1, \dots, \lambda_n$  называются сингулярными числами матрицы  $Q\hat{q}$ , а набор векторов  $\mathbf{e}_k \in \mathcal{R}$ ,  $k = \overline{1, n}$ , и дополненный до полной ортонормированной системы в  $\mathcal{R}_N$  набор векторов  $\mathbf{g}_k \in \mathcal{R}_N$ ,  $k = \overline{1, N}$ , называются сингулярными базисами евклидовых пространств  $\mathcal{R}$  и  $\mathcal{R}_N$  соответственно.

В рассматриваемом случае роль оператора  $S_Q$  в (9) играет матрица  $Q\hat{q}\hat{q}^*Q^* \in (\mathcal{R} \rightarrow \mathcal{R})$  и в терминах сингулярных чисел и сингулярных базисов  $k$ -й модой движения при аппроксимации  $Q\mathbf{q}(t)$ ,  $t = t_1, \dots, t_N$ , является матрица  $\widehat{Qq}_k \in (\mathcal{R}_N \rightarrow \mathcal{R})$  с матричными элементами

$$\{\widehat{Qq}_k\}_{ij} = \lambda_k \{\mathbf{e}_k\}_i \{\mathbf{g}_k\}_j, \quad i = \overline{1, n}, \quad j = \overline{1, N}.$$

Моду  $\widehat{Qq}_k$ ,  $k = \overline{1, n}$ , можно рассматривать как вектор  $\mathbf{e}_k \in \mathcal{R}$ , задающий “направление”  $k$ -й ортогональной составляющей движения вектора  $Q\mathbf{q}$  в фазовом пространстве  $\mathcal{R}$  с амплитудой  $\lambda_k \{\mathbf{g}_k\}_j$ , зависящей от времени  $t_j$ ,  $j = \overline{1, N}$ ; тем самым координаты вектора  $\mathbf{g}_k \in \mathcal{R}_N$  передают динамику этой составляющей.

## 5. ПРИМЕНЕНИЕ МЕТОДА МОД И ЭФФЕКТИВНОЙ РАЗМЕРНОСТИ ДЛЯ ИССЛЕДОВАНИЯ ДИНАМИКИ ТРЕХАТОМНОГО КЛАСТЕРА

Рассмотрим внутреннюю динамику трехатомного кластера благородного газа, описываемую уравнениями движения трех материальных точек в потенциальном поле, заданном потенциалом Леннарда–Джонса [7]. При исследовании таких кластеров методами молекулярной динамики было обнаружено, что для невращающегося кластера свойства его внутреннего движения зависят от значения полной внутренней энергии и строения поверхности потенциальной энергии (см. [8]). Было также показано, что, помимо ангармоничности потенциала взаимодействия, еще одним источником хаоса является кинетическая энергия, сосредоточенная в колебательных степенях свободы [9]. В случае вращающегося кластера внутренняя динамика исследуемых систем усложняется; в частности, в трехатомных кластерах аргона было обнаружено расщепление фазового пространства на области регулярного и хаотического движений в зависимости от значений полной энергии и углового момента кластера (см. [10], [11]), причем регулярная компонента обнаруживается и при достаточно высоких значениях полной энергии кластера, чего не наблюдается в невращающихся кластерах [12]. Для понимания особенностей движения таких кластеров важна визуализация движения атомов в кластере, что оказывается достаточно сложной проблемой из-за высокой размерности фазового пространства: так, при описании внутренней динамики трехатомного кластера аргона в системе центра масс и при отсутствии его поступательного движения необходим набор из 12 координат – шесть для описания пространственных координат и шесть для описания импульсов частиц.

Кластер из трех одинаковых атомов благородного газа можно рассматривать как связанное или долгоживущее квазисвязанное состояние системы с гамильтонианом

$$H = \sum_{i=1}^3 \frac{p_i^2}{2m} + \sum_{i=j}^3 U(r_{ij}), \quad (11)$$

где  $r_{ij} = \|\mathbf{q}_i - \mathbf{q}_j\|$ ,  $\mathbf{p}_i$ ,  $\mathbf{q}_i$  – векторы импульса и координаты  $i$ -го атома,  $m$  – его масса,  $U(\cdot)$  – потенциал Леннарда–Джонса,

$$U(r_{ij}) = 4U_0 \left[ \left( \frac{\alpha}{r_{ij}} \right)^{12} - \left( \frac{\alpha}{r_{ij}} \right)^6 \right] \quad (12)$$

с глубиной потенциальной ямы  $U_0$  и характерной шириной  $\alpha$ , соответствующей положению нуля потенциала. Воспользуемся естественной системой единиц, в которой масштабами служат  $m$ ,  $U_0$  и  $\alpha$ . Тогда основное состояние кластера с энергией  $E = -3$  и величиной углового момента  $M = 0$  соответствует неподвижным атомам, размещенным в вершинах равностороннего треугольника с длиной стороны  $\alpha' = \alpha\sqrt{2}$ . Движение системы в состоянии с максимальным для фиксированной энергии угловым моментом  $M_{\max}$  представляет собой вращение вокруг центра симметрии равностороннего треугольника, лежащего в плоскости, перпендикулярной вектору углового момента. Схема численного интегрирования уравнений движения модели описана в [10].

Пусть интерес представляет пространственная конфигурация фазовой траектории при движении в фазовом пространстве  $\mathcal{E}_{12}$ . Пространственные характеристики движения содержатся в первых шести координатах  $\mathbf{q} \in \mathcal{E}_6$  двенадцатимерного вектора  $\mathbf{x} = [\mathbf{q}, \mathbf{p}] \in \mathcal{E}_{12}$ . Формально можно ввести оператор  $Q_{\mathbf{x}} \in (\mathcal{E}_{12} \rightarrow \mathcal{E}_{12})$  ортогонального проецирования в  $\mathcal{E}_{12}$  на шестимерное подпространство вида  $\mathcal{R}_6 = \{[\mathbf{q}, \mathbf{0}], \mathbf{q} \in \mathcal{E}_6, \mathbf{0} \in \mathcal{E}_6\} \subset \mathcal{E}_{12}$ .

Средний по времени квадрат нормы вектора  $Q_{\mathbf{q}}\mathbf{x}(t)$ ,  $t \in [0, T)$ , характеризует средний размер области пространства, где происходит движение материальной точки. В наибольшей степени эта область вытянута вдоль такого вектора из  $\mathcal{E}_{12}$ , проекция на который вектора  $Q_{\mathbf{q}}\mathbf{x}(t)$  в среднем по времени имеет наибольший квадрат нормы. Аналогично, двумерная плоскость  $\mathcal{R}_2$  в  $\mathcal{E}_{12}$ , проекция  $Q_{\mathbf{q}}\mathbf{x}(t)$  на которую в среднем по времени имеет максимальный квадрат нормы, описывает ориентацию этой области в двух направлениях. Проекция “пространственной” части фазовой траектории  $\mathbf{q}(t) \in \mathcal{E}_6$ ,  $t \in [0, T)$ , на эту плоскость дает двумерное описание шестимерного пространственного движения; точность этого приближения равна среднему квадрату нормы проекции вектора  $Q_{\mathbf{q}}\mathbf{x}(t)$  на ортогональное к плоскости  $\mathcal{R}_2$  дополнение в  $\mathcal{E}_{12}$ .

Для анализа направлений в фазовом пространстве, в которых происходят самые быстрые перемещения атомов кластера, от вектора  $\mathbf{x}$  следует оставить лишь “часть”, содержащую импульсы движущихся атомов. В этом случае  $Q_{\mathbf{p}}(\mathbf{q}, \mathbf{p}) = [\mathbf{0}, \mathbf{p}]$ , средний квадрат нормы вектора  $Q_{\mathbf{p}}$  пропорционален среднему по времени значению кинетической энергии системы. Двумерная плос-

кость  $\mathcal{R}_{2,p}$  в  $\mathcal{E}_{12}$ , проекция  $Q_p x(t)$  на которую в среднем по времени имеет максимальный квадрат нормы, задает два направления, в которых средняя кинетическая энергия максимальна. Проекция вектора  $Q_p x(t) \in \mathcal{E}_{12}, t \in [0, T)$ , на эту плоскость дает двумерное описание шестимерной составляющей  $p(t)$  фазовой траектории пространства импульсов.

Эффективные размерности  $\zeta$  фазовой траектории  $Q_p x(t)$  трехатомного кластера аргона были определены в зависимости от относительной погрешности аппроксимации  $\epsilon$  для  $E = -2.5$  и двух значений углового момента:  $M = 0$  (см. фиг. 1а) и  $M = 0.8M_{\max}$  (см. фиг. 1б). (На всех графиках регулярные траектории представлены квадратами, а хаотические – кружочками.) Как видно из фиг. 1, полученные результаты сильно различаются для регулярной и хаотической траекторий при значениях углового момента, близких к нулю, и практически совпадают для значения углового момента  $M = 0.8M_{\max}$ .

На фиг. 2 доля кинетической энергии кластера, содержащаяся в  $k$ -й моде ( $k = \overline{1, 6}$ ), выражена в процентах ( $\lambda_k^2 / \sum_{j=1}^6 \lambda_j^2 \times 100\%$ ); для (а)  $E = -2.5, M = 0$ ; для (б)  $E = -2.5, M = 0.8M_{\max}$ .

Как видно из фиг. 1, 2, в случае регулярного движения и нулевого углового момента вся кинетическая энергия с точностью 5–7% сконцентрирована в трех направлениях. Хаотическая траектория характеризуется большим числом мод, необходимых для описания кинетической энергии системы. Как для регулярной, так и для хаотической траекторий, при большом угловом моменте движение кластера в основном происходит в двумерном подпространстве. Погрешность двумерного приближения составляет 12–15%.

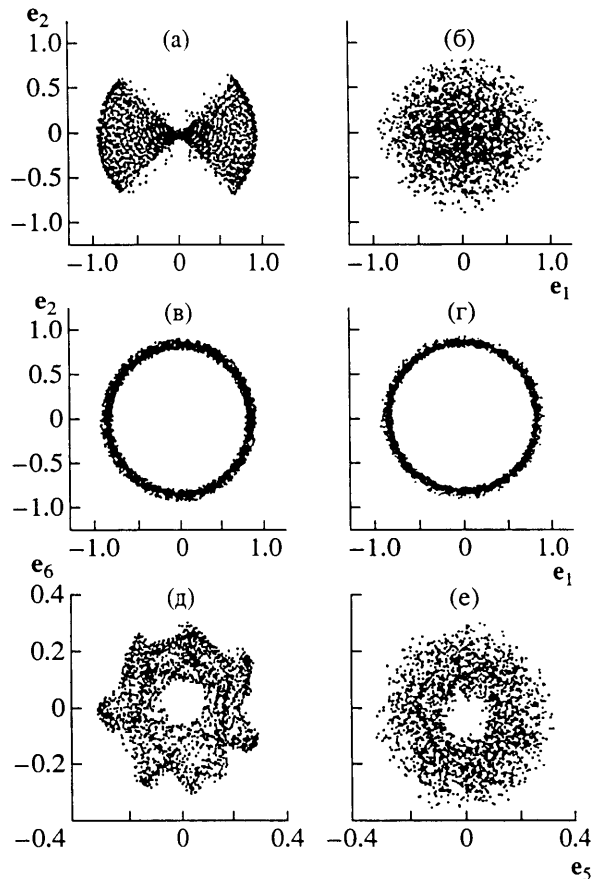
На фиг. 3 (а–г) отражена двумерная проекция траектории  $Q_p x(t)$  ( $t = t_1, \dots, t_{1000}$ ), представляющая собой сумму двух первых мод вектора  $Q_p x(t), t \in [0, T)$ . Следует отметить явное различие этих траекторий для регулярного и хаотического движений невращающегося кластера (фиг. 3а, 3б). При  $E = -2.5$  и значениях  $M = 0$  плоскость проходит через векторы  $e_1$  и  $e_2$ . В случае регулярной траектории существуют области фазового пространства, недоступные для движения кластера. При больших значениях углового момента  $M = 0.8M_{\max}$  картины движения в двумерных плоскостях практически не различаются (см. фиг. 3в (регулярная) и 3г (хаотическая)). Однако существенное различие видно в динамике 5-й и 6-й мод, которые вносят лишь небольшой вклад в кинетическую энергию системы (см. фиг. 3д (регулярная) и 3е (хаотическая)).



Фиг. 1.



Фиг. 2.



Фиг. 3.

## ВЫВОДЫ

Предложенный способ позволяет визуализировать главные моды движения нелинейной динамической системы и тем самым исследовать особенности ее поведения в зависимости от параметров, определяющих ее движение.

## СПИСОК ЛИТЕРАТУРЫ

1. Бондаренко С.П., Пытьев Ю.П. Об эффективном ранге модели линейных измерений с ошибкой // Ж. вычисл. матем. и матем. физ. 1995. Т. 35. № 1. С. 6–23.
2. Pyt'ev Yu.P., Pyt'ev A.Yu. Effective Dimensionality and Data Compression // Pattern Recongnit. and Image Analys. 1997. V. 7. № 4. P. 393–406.
3. Пытьев А.Ю., Пытьев Ю.П. Об эффективной размерности множества измерений // Ж. вычисл. матем. и матем. физ. 1998. Т. 38. № 4. С. 682–697.
4. Громов М.А., Сердобольская М.Л. Об эффективном ранге конечномерных приближений бесконечномерной линейной модели измерения // Матем. моделирование. 1998. Т. 10. № 4. С. 33–45.
5. Сердобольская М.Л. Об эффективном ранге бесконечномерной линейной модели измерения // Вестн. МГУ. Сер 3. Физ. астрон. 2000. № 5. С. 5–8.
6. Русс Ф., Секефальви-Надь Б. Лекции по функциональному анализу. М.: Изд-во иностр. лит., 1954.
7. Aziz R.A. Interatomic potentials for rare gasses: pure and mixed interaction // Inert Gases. Berlin: Springer, 1984. Ch. 2.
8. Hinde R.J., Berry R.S. Chaotic dynamics in small inert gas clusters: The influence of potential energy saddles // J. Chem. Phys. 1993. V. 99. № 4. P. 2942–2963.
9. Jellinek J.J., Jasien P.G. The structure of small molecules and ions // New York: Plenum Publ. Corp., 1988. P. 39–47.
10. Belega E.D., Elyutin P.V., Trubnikov D.N., Shvilkina L.B. Phase space structure of rotating trimers of nobel gas atoms // Physics-Doclady. 1997. V. 42. P. 750–753.
11. Belega E.D., Trubnikov D.N., Lohr L.L. The effect of rotation on the internal dynamics and phase space structure of rare gas trimers // Phys. Rev. A. 2001. V. 63. № 043203. P. 1–6.
12. Berry R.S. Many dimensional potential surfaces: what they imply and how to think about them // Internat. J. Quant. Chem. 1996. V. 58. № 6. P. 657–670.